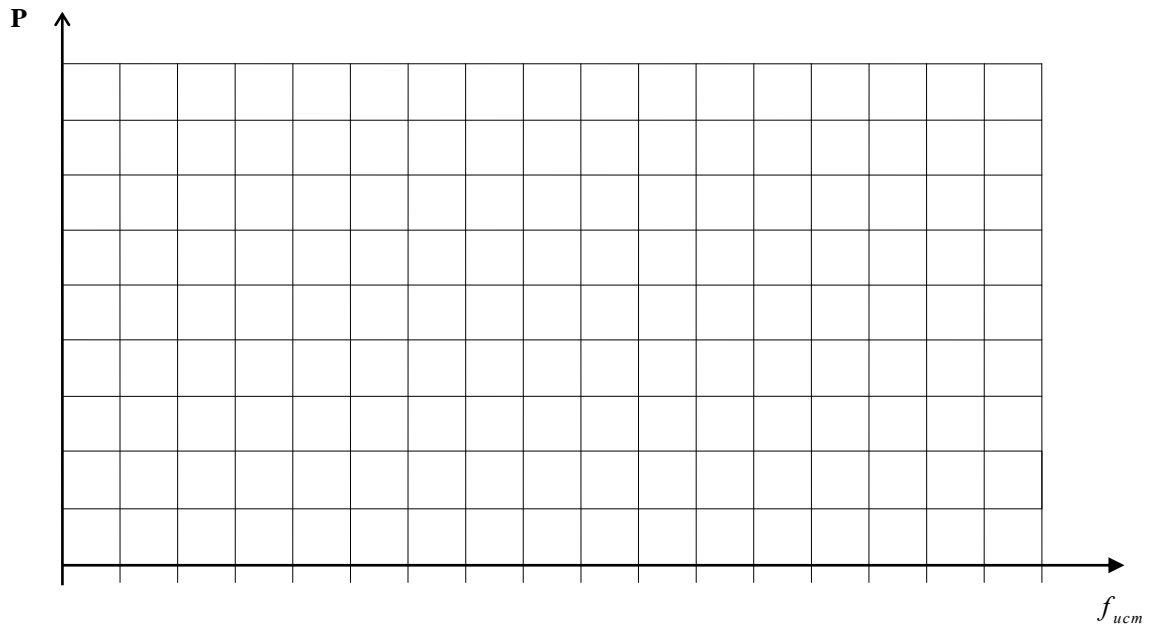




### График зависимости $P \left( f_{уст} \right)$

Масштаб по оси ординат \_\_\_\_\_

Масштаб по оси абсцисс \_\_\_\_\_



Поперечное сечение балки  
( в масштабе )

Эпюра нормальных напряжений  
при  $P = P_n$  в опасном сечении

### Результаты испытаний

1. Нагрузка, соответствующая пределу пропорциональности  $P_n =$

2. Предел пропорциональности  $\sigma_n = \frac{M_n}{W_{НЛ}} =$

3. Нагрузка, соответствующая пределу прочности  $P_{макс} =$

4. Предел прочности  $\sigma_s = \frac{M_{макс}}{W_{НЛ}} =$

5. Максимальное касательное напряжение  $\tau_{макс} = \frac{3}{2} \cdot \frac{Q_{макс}}{b \cdot h} =$

6. Допускаемое напряжение  $\sigma_{доп} = \frac{\sigma_{пред}}{k} =$

7. Модуль упругости  $E = P \cdot l^3 / 48 \cdot f_{уст} \cdot I =$

Работу принял \_\_\_\_\_ ” \_\_\_\_\_ ” \_\_\_\_\_ 200\_\_ г.

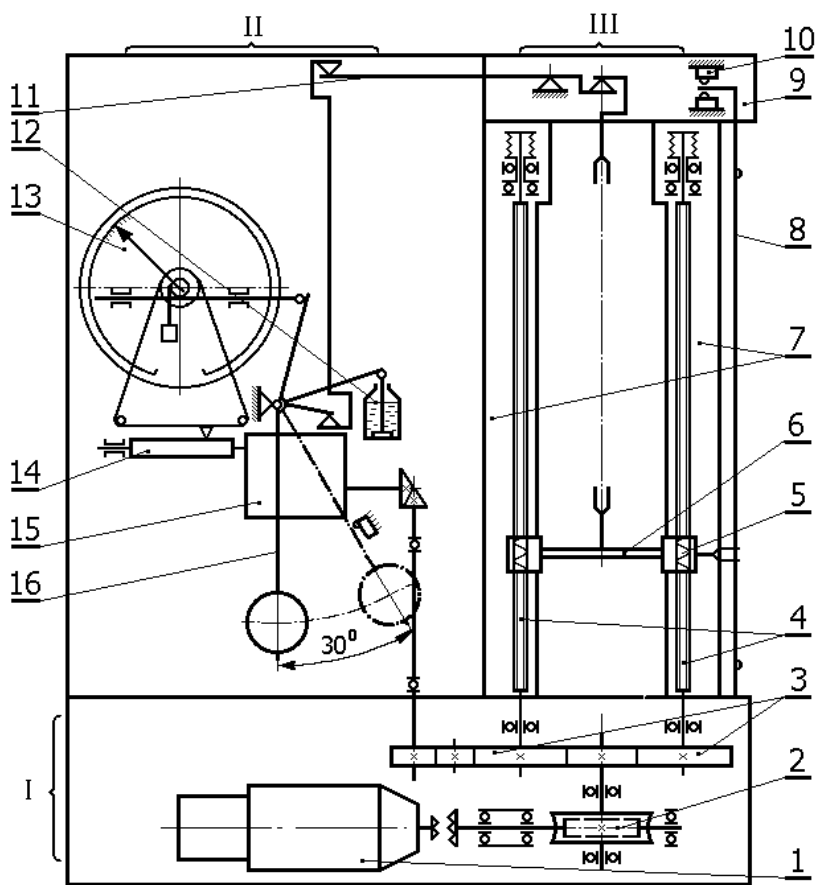
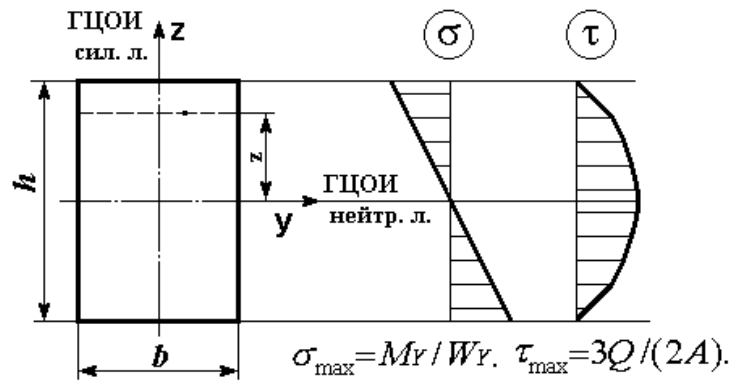


Рис. 28. Разрывная машина Р-5 (кинематическая схема):

- |   |   |
|---|---|
| 1 – электродвигатель<br>( $n = 15 \div 1500$ об/мин); | 9 – траверса неподвижная;                 |
| 2 – червячный редуктор;                               | 10 – микровыключатели;                    |
| 3 – зубчатые колеса;                                  | 11 – рычаг силоизмерителя;                |
| 4 – винты ходовые;                                    | 12 – демпфер масляный;                    |
| 5 – гайки;  | 13 – шкала силоизмерителя;                |
| 6 – траверса подвижная;                               | 14 – диаграммный аппарат;                 |
| 7 – стойки;   | 15 – редуктор—масштабный преобразователь; |
| 8 – шток;   | 16 – штанга маятника с грузами            |

